УДК 551.311.23 (477.63)

ЛИТОЛОГИЯ

## Е. Я. КАПЛУН

## ПРОТЕРОЗОЙСКАЯ МЕТАМОРФИЗОВАННАЯ КОРА ВЫВЕТРИВАНИЯ ПЛАГИОГРАНИТОВ ПОД ТАЛЬКОВЫМИ СЛАНЦАМИ В КРИВОРОЖСКОМ БАССЕЙНЕ

(Представлено академиком А. В. Сидоренко 31 V 1971)

В последние годы нами была изучена допротерозойская метаморфизованная кора выветривания плагиогранитов и зеленокаменных пород (покровных и дайковых) под аркозовыми метапесчаниками  $\binom{1}{2}$ .

В указанных работах авторы подробно останавливаются на веществен-

ном составе и условиях образования этой коры.

Во всех случаях древняя кора выветривания под аркозовыми метапесчаниками формировалась в общих физиогеографических условиях, носит сиалитный характер и отличается весьма значительным привносом калия. Под влиянием последующего метаморфизма образования допротерозойской коры выветривания превращены в серицито-кварцевые, серицито-биотитовые породы и серицито-биотиго-кварцевые сланцы.

Однако в районе шахты «Гигант-Глубокая» рудника им. Дзержинского были встречены не совсем аналогичные по составу образования древней коры выветривания плагиогранитов, заслуживающие специального

описания.

Эти образования зафиксированы на небольшом участке, длиной всего в 0,5 км, под тальковыми сланцами, которые в нормальном разрезе залегают между нижним филлит-аркозовым отделом и собственно железо-

рудной формацией.

Еще в 1959 г. при проходке ствола шахты «Гигант-Глубокая» нами было отмечено отсутствие в разрезе филлитовых сланцев и значительное уменьшение мощности аркозов (до 5 м), которые перекрывались тальково-хлорито-карбонатными сланцами. Позже это же явление наблюдалось и в других выработках шахты, причем на горизонте 380 м аркозо-филлитовая толща отсутствовала полностью и тальковые породы контактировали непосредственно с плагиогранитами (4, 5). Аналогичный контакт был изучен автором в 1965 г. и на горизонте 540 м в вентиляционном гезенке 129 оси.

Здесь, так же как и под аркозовыми песчаниками, можно видеть нижнюю массивную, вполне гранитовидную часть древней коры выветривания и верхнюю, представляющую собой узловатый кварцево-серицито-хлоритовый сланец. В целом древняя кора выветривания гранитов под тальковыми сланцами имеет тот же характер, что и под аркозовыми песчаниками, но с той существенной разницей, что наряду с серицитом развивается магнезиально-железистый хлорит, часто даже преобладающий пад серицитом. Контакт гранитов с налегающими сланцами резкий, но неровный. В коре выветривания гранитов было встречено значительное углубление, с крутыми склонами, возможно представляющее собой ложе потока (рис. 1). В нижней части углубления, среди заполняющих его тальково-карбонатных сланцев, находятся гальки кварца, кварцита, а также валун серицитизированного плагиоклазового гранита размером 20×45 см. Валун окружен как бы «рубашкой» из мягкой, жирной на ощупь и сланцеватой существенно тальковой породой. Последняя

состоит из спутанно-волокнистого агрегата талька с мелкозернистым кварцем и карбонатом. В отдельных прослоях над валуном в этой же породе присутствуют крупные окатанные (?) зерна запыленного кварца, а в тальке — лейстовидные включения ильменита. Сам валун состоит из сильно измененного (выветрелого) плагиогранита, в котором весь полевой шпат полностью перешел в тонкочешуйчатый агрегат вторичных

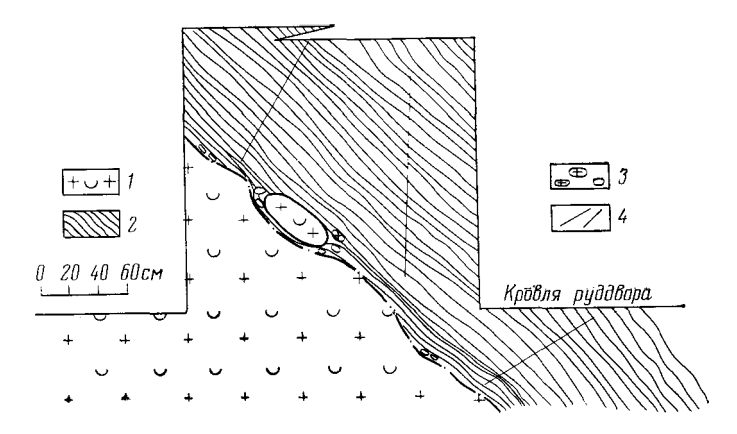


Рис. 1. Контакт гранитов (древней коры выветривания) с тальковыми сланцами. Зарисовка южной стенки вентиляционного генезеса в оси 129 на горизонте 540 м шахты «Гигант-Глубокая». 1— древняя кора выветривания плагиогранитов; 2— тальковые сланцы; 3— валуны и гальки гранита; гальки кварца; 4— трещины отдельности

минералов (хлорит, каолит (?), гидрослюда). Кварц реликтовый «гранитный», в виде неправильных трещиноватых ксенобластов, но есть и небольшие выделения мелкозернистого гранобластового кварца с серицитом. Присутствуют пакеты биотита, проросшие мусковитом.

Химический состав гранитов и их коры выветривания под тальковым горизонтом (последовательная серия образцов на протяжении 20 м из зоны выветривания) показан в табл. 1.

Таблица 1 Химический состав гранитов в древней коре выветривания под тальковыми сланцами (%)

Компо- нент	№ 1	<b>№</b> 2	<b>№</b> 3	№ 4	<b>№</b> 5
$\begin{array}{c} {\rm SiO_2} \\ {\rm TiO_2} \\ {\rm Al_2O_3} \\ {\rm Fe_2O_3} \\ {\rm FeO} \\ {\rm MnO} \\ {\rm MgO} \\ {\rm CaO} \\ {\rm Na_2O} \\ {\rm K_2O} \\ {\rm P_2O_5} \\ {\rm CO_2} \\ + {\rm H_2O} \\ - {\rm H_2O} \end{array}$	67,70 0,30 15,20 0,66 2,50 0,06 1,78 2,00 4,00 3,11 0,11 1,40 1,40 0,20	68,30 0,27 13,80 0,50 3,90 0,09 4,75 0,10 4,55 1,46 0,15 0,04 2,20 0,06	62,70 0,28 14,00 0,46 5,30 0,11 8,69 0,10 2,67 0,96 0,10 0,04 5,87 0,19	57,80 0,24 12,00 2,06 6,90 0,07 12,75 0,10 0,35 0,21 0,09 0,07 7,90 0,43	54,80 0,24 11,90 0,70 8,40 0,05 15,38 0,14 0,68 0,41 0,05 0,11 6,50 0,14
Сумма	100,42	99,87	99,47	100,47	99,50

Примечание. №№ 1, 2 — плагиогранит хлоритизированный, в 20 м от контакта; №№ 3, 4 — плагиогранит интенсивно хлоритизированный, в 2—6 м от контакта; № 5 — кварцево-хлоритовый узловатый сланец с серицитом (у контакта).

К сожалению, совершенно свежие граниты выработками не вскрыты, и даже наименее измененный обр. № 1, взятый в 20 м от контакта с налегающими породами, все же содержит вторичные минералы — главным образом хлорит. Тем не менее, для определения степени выноса и привноса элементов этот образец принят за эталон.

Соответствующие вычисления, выполненные по методу Мерилла (6) и приведенные в табл. 2, показывают все своеобразие происходящих

здесь процессов.

Таблица 2

Степень выноса (и привноса) главнейших окислов в «подтальковой» коре выветривания плагиоклазовых гранитов (по обр. №№ 1 и 5 из выработки горизонта 380 м шахты «Гигант Глубокая». Расчетный коэффициент по  $Al_2O_3 - K = 0.78$ )

Окисел	Содержание, %		:		
	в <b>с</b> вежей породе в	в коре выветрив. $b_1$	$Kb - b_1'$	$Kb - b_i$	$C = \frac{Kb - b_1}{Kb}, \%$
SiO <sub>2</sub> Al <sub>2</sub> O <sub>3</sub> Fe <sub>2</sub> O <sub>3</sub> FeO MgO CaO Na <sub>2</sub> O K <sub>2</sub> O	67,70 15,20 0,66 2,50 1,78 2,00 4,00 3,11	54,80 11,90 0,70 8,40 15,33 0,14 0,68 0,41	52,81 11,90 0,51 1,95 1,39 1,56 3,12 2,43	$\begin{array}{c} -1,99 \\ 0,00 \\ -0,19 \\ -6,45 \\ -13,99 \\ +1,42 \\ +2,44 \\ +2,02 \end{array}$	+3,80 0,00 +37,20 +331,00 +1006,00 -91,00 -78,20 -83,10

 $\Pi$  р и м е ч а н и е. K — соотношение содержаний элемента (окисла) — свидетеля в свежей породе и выветрелой; b — содержание элемента (или окисла) в свежей породе;  $b_1$  — фактическое содержание элемента (окисла) в измененной породе;  $b_1$  — расчетное содержание при условии стабильности данного элемента.

Сопоставляя поведение основных окислов в древней коре выветривания плагиогранитов под тальковыми сланцами и под аркозовыми иссчаниками\*, легко видеть общие черты и различия этих профилей (табл. 3).

Приведенные расчеты показывают, что в конечном продукте выветривания — узловатом кварцево-хлоритовом сланце — не наблюдается замет-

Таблица 3 Привнос (+) и вынос (--) основных окислов в древней коре выветривания плагиогранитов (%)

Окисел	Под тальковыми сланцами	Под аркозовыми песчаниками		
SiO <sub>2</sub> Al <sub>2</sub> O <sub>3</sub> Fe <sub>2</sub> O <sub>3</sub> FeO MgO CaO Na <sub>2</sub> O K <sub>2</sub> O	$\begin{array}{c} +3,80 \\ 0,00 \\ +37,20 \\ +331,00 \\ +1006,00 \\ -91,00 \\ -78,20 \end{array}$	$\begin{array}{c} -21,40 \\ 0,00 \\ +88,00 \\ -54,80 \\ -27,20 \\ -98,40 \\ -90,10 \\ \end{array}$		

ного перемещения  $SiO_2$ , но почти полностью вынесены CaO,  $Na_2O$ ,  $K_2O$  (степень выноса 78-91%).

Наиболее важной чертой исследуемой коры выветривания является многократное увеличение содержания FeO и особенно MgO. Очевидно, здесь при формировании карбонатно-тальковой толщи имело интенсивное просачивание железистомагнезиальных растворов в уже существовавшую допротерозойскую кору выветривания гранитов, что и дало картину железисто-магнезиальметасоматоза с образованием столь своеобразной по составу коры выветривания.

Вероятно, на участках, примером которых является современное поле шахты «Гигант-Глубокая», в древнем рельефе образовались глубокие промоины, по которым мчались бурные потоки, уносившие в своем

<sup>\*</sup> Соответствующие вычисления произведены ранее ( $^2$ ) аналогично вышеприведенным для протерозойской коры.

течение не только гальки, но и валуны размываемых ими подстилающих

нород — гранитов, аркозов, филлитов.

Эти поверхностные воды, обогащенные магнием при размыве свежих ультраосновных лав, проникли и в ранее сбразованную площадную

допротерозойскую силаитную кору выветривания гранитов.

Воздействие магнезиальных растворов, сохранив общий облик гранитной коры, изменило ее вещественный состав, обогатив магнием и двухвалентным железом, что, в свою очередь, предопределило развитие здесь в перпод метаморфизма в качестве стереотипных минералов не только серицита, но и хлорита.

Таким образом, перед нами один из редких случаев, еще не описанный в нашей отечественной литературе для докембрия,— развитие вторичной (наложенной, в понимании И. И. Гинзбурга (3)), остаточной коры выветривания. Более древняя, допротерозойская, кора была преобразована в последующий протерозойский период гипергенеза путем инфильтрации магнезиальных растворов с поверхности.

Впоследствии эта наложенная кора была метаморфизована совместно

с допротерозойской корой в условиях зоны зеленых сланцев.

Остаточные допротерозойская и протерозойская коры выветривания были полностью захоронены под вышележащими толщами геосинклинальных осадков; вместе с последними они пережили период инверсии госинклинали и метаморфизма ее компонентов.

Описанный случай образования протерозойской наложенной коры выветривания плагиогранитов является пока единственной пллюстрацией к геологическим событиям того времени.

Трест «Кривбассшахтопроходка» Кривой Рог Поступило 27 V 1971

## НИТИРОВАННАЯ ЛИТЕРАТУРА

<sup>1</sup> Ю. Г. Гершойг, Е. Я. Каплун, ДАН, 184, № 3 (1969). <sup>2</sup> Ю. Г. Гершойг, Е. Я. Каплун, ДАН, 195, № 4 (1970). <sup>3</sup> И. И. Гинзбург, Сборн. Кора выветривания, № 6 (1963). <sup>4</sup> М. С. Попомарев, Сов. геол., № 7 (1964). <sup>5</sup> А. А. Титлянов, О. В. Китаев, Сборн. Вопросы подземной и открытой разработки железных руд в Криворожском бассейне, 1967. <sup>6</sup> Меггіl, Rock Rock Weathering and Soils, 1906.